

O CAOLIN MATERIA PRIMA INDUSTRIAL. II.- ESTUDO DUN CAOLIN LOCALIZADO NA ZONA CENTRO DA PROVINCIA DE LUGO.

G. Campillo

Instituto de Minerales de Sargadelos

Resume

O traballo iníciase coa recollida dunha mostra de 100 Kgrs. nun afloramento descuberto na devandita zona, do cal, polo momento, non se conoce a súa xeoloxía e posibles reservas.

A mostra en bruto identifícase mineralóxicamente mediante os métodos instrumentais usuais e seguidamente sométese a un proceso de lavado e clasificación granulométrica. As fraccións obtidas caracterízanse desde o punto de vista técnico pola súa posible aplicación nas industrias do papel e a cerámica.

Pra rematar e como consecuencia dos resultados obtidos, fanse ensaios de deslaminación e branqueo pra modificar as propiedades reolóxicas e ópticas pensando nunha posible mellora da súa calidade, o que levaría consigo un superior valor engadido e interés económico.

Resumen

Se inicia el trabajo con la recogida de una muestra de 100 Kgrs. en un afloramiento descubierto en dicha zona del que, por el momento, no se conoce su geología y posibles reservas.

La muestra en bruto se identifica mineralógicamente mediante los métodos instrumentales usuales y a continuación se somete a un proceso de lavado y clasificación granulométrica. Las fracciones obtenidas se caracterizan desde el punto de vista técnico para su posible aplicación en las industrias del papel y la cerámica.

Por último y como consecuencia de los resultados obtenidos, se hacen ensayos de deslaminación y blanqueo para mejorar las propiedades reológicas y ópticas pensando en una posible mejora de la calidad de dicho caolín, lo que traería consigo un superior valor añadido e interés económico.

Abstract

This work begins picking up a 100 Kgrs. sample from an outcrop discovered in that area; geology and possible reserves are unknown at present.

The bulk sample is mineralogically identified by means of the current instrumental methods and subsequently washed and sized. The obtained fractions are characterized from technical point of view for their possible application in paper and ceramics industries.

Finally and in view of obtained results, delamination and bleaching tests for optical and reological properties modification, are made for improve the quality of the kaolin, getting with that a superior added value and economic interest.

## LIMIAR

A mostra recóllese nun afloramento perto dun camiño veciñal dun concello do centro da provincia de Lugo. Non se trata dun xacimento en explotación nin existen referencias bibliográficas da súa xeoloxía. Aínda que non hai dados concretos, o xacimento atópase nunha área cámbrica con xistos coma rochas predominantes (1).

A rocha da zona circundante ten como característica unha cor branca en cocido, con aspecto parcialmente vitrificado que non é debido á presencia de feldespato, ausente no diagrama de raios X da mesma.

O material en bruto preséntase baixo o aspecto de grosos terróns, uns de cor marela que se disgregan con facilidade e outros, máis brancos, que o fan con moita dificultade. Éstes derradeiros non se deslien na auga, polo que non pode seguirse o tratamento costumado na pranta-pilotc baseada no peneirado e hidrociclonado (2).

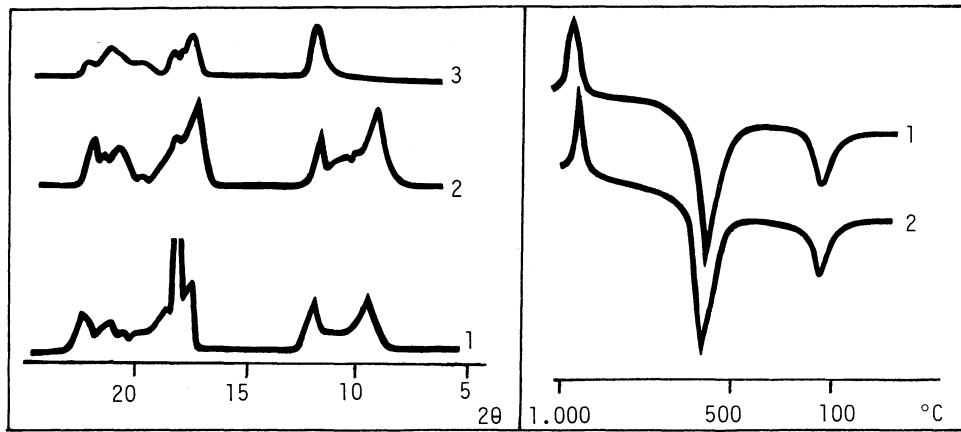
## IDENTIFICACION FISICO-QUIMICA

Do diagrama de raios X da mostra en bruto dedúcese a existencia de minerais do grupo da caolinita e cuarzo, así como a ausencia de mica. Os minerais da arxila presentes son caolinita e haloisita. Na figura 1 pódense ver os diagramas de raios X do todo-un e da fracción menor de 2 micras; n'esta fixéronse os da mostra seca ó ar e seca a 110 °C, no que se olla que desaparece o pico característico da haloisita hidratada. A identificación destes minerais confírmase por análise térmico diferencial (ATD fig. 2).

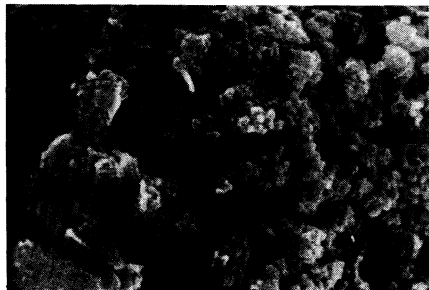
Nas microfotografías feitas por microscopía electrónica de barrido (fig. 3) vense unhas formaciós arracimadas de partículas que non teñen formas planas nin tubulares ou globulares típicas da haloisita.

Nas táboas I e II exponse o análisis químico do mineral en bruto e o mineralóxico semi-cuantitativo, deducido a partir dos diagramas de raios X e ATD pra o todo-un e a fracción menor de 2 micras.

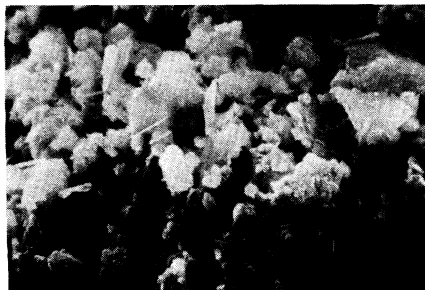
Destaca a ausencia de mica, o que se corresponde co feito de que non haxa potasio no análisis químico.



Figs. 1 e 2.- Diagramas de raios X e Análise Térmico Diferencial. 1.- Muestra en bruto; 2.- Fracción  $< 2\mu$  seca ó ar; 3.- Fracción menor de  $2\mu$  seca a 110 °C.



a



b

Fig. 3.- Microfotografías electrónicas de barrido da muestra en bruto.  
a.- 5.000 x; b.- 10.000 x.

TABOA I.- Análise Químico (%)

|       | SiO <sub>2</sub> | Al <sub>2</sub> O <sub>3</sub> | Fe <sub>2</sub> O <sub>3</sub> | TiO <sub>2</sub> | CaO  | MgO  | Na <sub>2</sub> O | K <sub>2</sub> O | P.C. |
|-------|------------------|--------------------------------|--------------------------------|------------------|------|------|-------------------|------------------|------|
| Bruto | 52,0             | 34,0                           | 0,90                           | 0,14             | 0,15 | 0,75 | 0,08              | 0,0              | 13,8 |

Sales solubles (mgr/100 gr)

Na = 3; K = 3; Ca = 0,5; Mg = 0,25; Fe = 0

Materia orgánica oxidable = 3 %

TABOA II.- Análise Mineralóxico (%)

|       | Gº Caolinita | Gº Micas | Cuarzo | I. Hinckley | I. asimetría |
|-------|--------------|----------|--------|-------------|--------------|
| Bruto | 90           | --       | 10     | --          | --           |
| < 2 μ | 95           | --       | Trz.   | 0,4         | 2,5          |

TRATAMENTO

Xa que non se pode desleir na auga e somete-lo ó lavado na pranta-piloto, foi necesario moe-lo en muiño de bolas por vía húmeda pra desfacer os agregados duros e compactos. Fixéreronse doux ensaios variando o tempo de moenda, que foi de 2 e 22 horas. En ámbolos casos pásase por peneira de 75 micras.

As granulometrías ó cabo destes tempos indícanse na figura 4, na que tamén se representan as distribucións dos mesmos caolíns posteriormente deslaminados.

ENSAIOS TECNICOS

A granulometría do caolín despois de 2 h. de moenda indícanos que se trata dun material cun groso tamaño de grao, outo estado de agregación e cunha fracción < 2 μ próxima ó 10 %, o que é insuficiente pra facer os ensaios de colado.

Cerámica (moído 22 h. Táboa III)

Fixéreronse probas de defloculación empregando distintos reactivos. Co que mellor se aprecia a formación de corda e barbotina é o silicato sódico

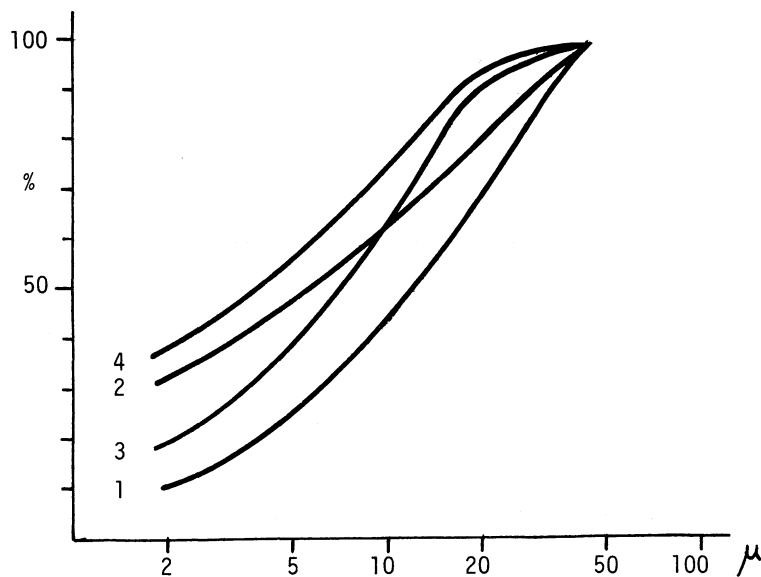


Fig. 4.- Curvas granulométricas acumulativas. 1) Moído 2 h.; 2) id. deslamado; 3) Moído 22 h.; 4) Id. deslamado.

( $D = 1385$  gr/l;  $\text{Na}_2\text{O} = 12\%$ ). Con tal electrolito prepárase unha barbotina que acada un contido en sólidos do 59 % pra unha viscosidade mínima de 300 cP. Neste punto presenta un comportamento dilatante xa que ó aumentar o gradiente de cisallamento, aumenta a viscosidade (figs. 5 e 6).

Un feito desfavorable é que a barbotina ten tendencia a apousar nun tempo inferior ós 10 min. Por outra banda, prodúcese unha adherencia ós moldes en pezas de paredes delgadas, polo que ó iniciar a contracción regañan. Estes feitos condicionan as propiedades de colado, das que destacan o baixo módulo de ruptura e a outa velocidade de formación de parede.

Amásase este caolín engadíndolle auga até obter unha plasticidade axeitada. Coa masa obtida moldéanse probetas por extrusión sen dificultade, determinando nelas as características da táboa III. Nela advírtese un módulo de ruptura algo inferior ó dun caolín de emprego corrente, unha absorción de auga outa e unha caída pirométrica baixa, o cal amosa propiedades refractarias.

Nas probetas feitas por prensado en seco a  $100 \text{ Kg/cm}^2$  mídese a brancura en cocido a  $1.410^\circ\text{C}$  que é de 80,5 puntos.

A figura 7 mostra a curva dilatométrica característica da haloisita hidratada na que se olla a diminución da contracción típica ó aumentar a temperatura de secado. A cantidade de cuarzo é pequena, segundo a contracción a 500-600 °C no ciclo de enfriamento.

TABOA III.- Características cerámicas caolín moído 22 h.

|   | M E T O D O M O L D E O |           |          |
|---|-------------------------|-----------|----------|
|   | COLADO                  | EXTRUSION | PRENSADO |
| <u>CONTRACCION (%)</u>                              |                         |           |          |
| Verde - Seco .....                                  | 6                       | 7         | -        |
| Seco - Cocido .....                                 | 11                      | 10        | 11       |
| <u>MODULO DE RUPTURA (Kgr/cm<sup>2</sup>)</u> ..... | 10,5                    | 13,5      |          |
| <u>ABSORCION DE AUGA (%) 1.410 °C</u> .....         | 20                      | 18        | 18       |
| <u>CAIDA PIROMETRICA (%) 1.410 °C</u> .....         |                         | 23        |          |
| <u>BRANCURA COCIDO - 1.410 °C</u> .....             | -                       | -         | 80,5     |
| <u>FORMACION ESPESOR</u>                            |                         |           |          |
| mm. en 5 min. .....                                 | 5,0                     |           |          |
| mm. en 15 min. .....                                | 9                       |           |          |
| Velocidade en mm <sup>2</sup> /min. .....           | 5                       |           |          |
| <u>VISCOSIDADE MINIMA (59 % sólidos)</u>            |                         |           |          |
| Centipoises .....                                   | 300                     |           |          |
| <u>DEFLOCULANTE (silicato sódico)</u>               |                         |           |          |
| % Na <sub>2</sub> O .....                           | 0,3                     |           |          |

#### Fabricación de ladrillos refractarios.

Á vista do outo contido en alúmina e en minerais da arxila, ademáis da ausencia de álcalis, prepárase unha composición partindo deste caolín, alúmina calcinada e serrín en pó, pra obter un refractario aillante aluminoso.

Fanse ladrillos en molde de madeira presionando manualmente a masa, co que se acada un bó aspecto. Despois de cocido a 1.410 °C ten unha cor bran-

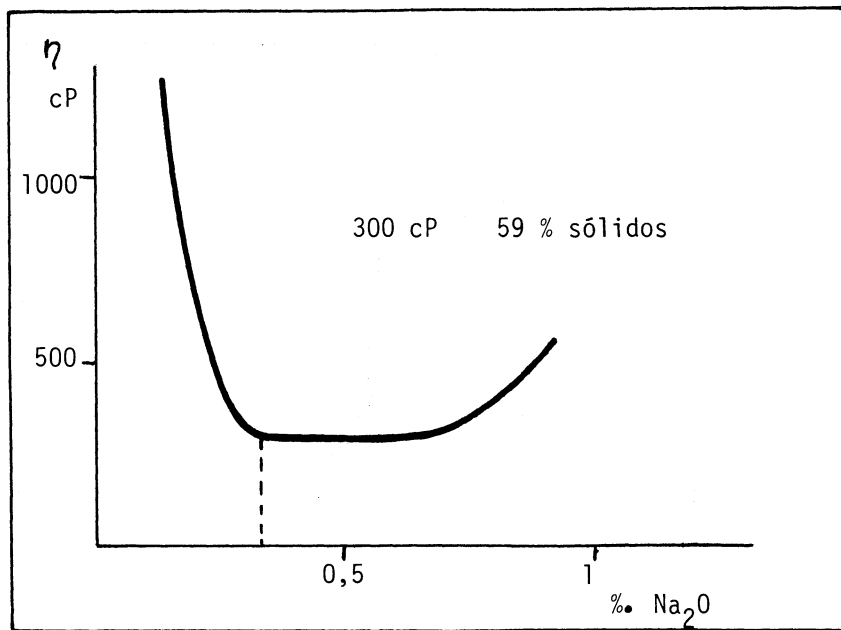


Fig. 5.- Curva de defloculación do caolín moído 22 h.

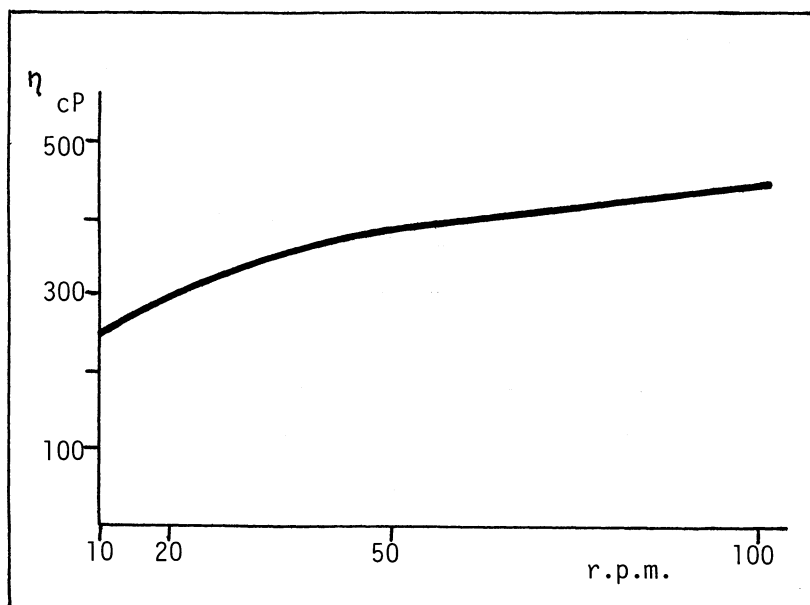


Fig. 6.- Anomalias no fluxo da barbotina: comportamento dilatante.

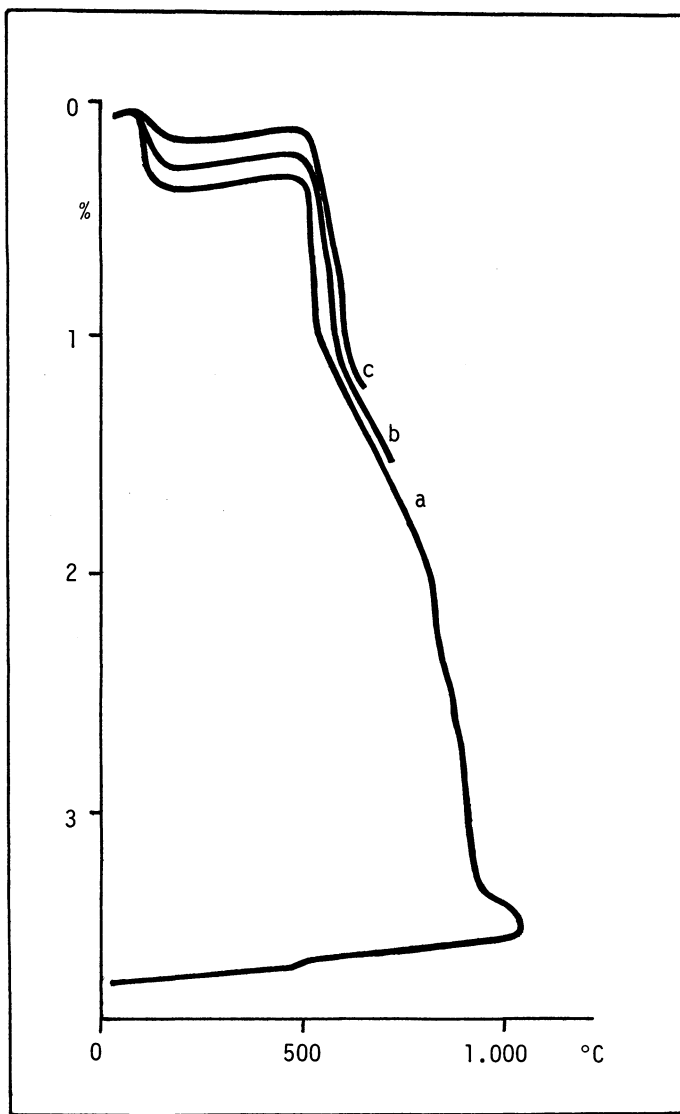


Fig. 7.- Curvas dilatométricas do caolín moído 22 h.: a) seco ó ar; b) seco 50 °C; c) seco 110 °C.

ca, pero as arestas desfanse con facilidade, podendo deberse a unha falla de compactación no moldeo e/ou baixa temperatura de cocción. Por isto é lóxico que teña menos contracción, máis porosidade e menos densidade que os ladrillos feitos nas mesmas condicíons con o caolín empregado normalmente.

#### Fabricación de porcelana

Prepárase unha composición de uso normal cos materiais xa moídos e fanse probetas por colado que non desmoldean ben e regañan ó comenzar a contracción de secado. Despois da cocción son translucientes e teñen unha tonalidade verdosa.

#### MODIFICACION DAS PROPIEDADES

Co obxeto de tentar mellorar a calidade deste caolín e con esto as súas posibilidades de aplicación industrial, lévase a cabo o branqueo e a deslaminação.

Deslamínase o material moído 2 e 22 horas e peneirado por  $75\mu$ . Preténdese comprobar a efectividade do método, tendo en conta que máis do 90 % son minerais da arxila e a maioria dos graos grosos deben de ser agregados de múltiples partículas. Pra face-lo amásase cunha humedade do 22 % e pásase polo extrusionador provisto dunha boquilla de 6 mm.

O caolín, moído 22 h. e deslaminado, sométese á operación de branqueo por vía química reducindo o Fe (III) a Fe (II) con hidrosulfito sódico e posterior solubilización con ácido sulfúrico. Pra mellorar a extracción do ferro engádese ácido fosfórico como complexante ó remate do proceso. O consumo do reductor foi de 16 Kg/ton., o de ácido sulfúrico de 12 e o de ácido fosfórico de 6,5. O tempo de reacción foi de 40 minutos.

Este consumo de reactivos, anormalmente elevado prá cantidade de ferro extraíble, que é un 0,55 %, temos que explica-lo pola presencia de Mn, xa que foi detectado nas augas de branqueo en cantidade igual ó 15 % do ferro extraído.

Os resultados destas operacións (táboa IV) amosan unha ganancia importante na fracción menor de  $2\mu$  en ámbalas deslaminações e un aumento da brancura de 16 puntos no branqueo, anque éste resulte lento e consume moita cantidade de reactivos.

TABOA IV.- Resultados modificación de propiedades.

|                   |            | Moído 2 h.<br>(Inicial) | Moído 2 h.<br>Deslaminado | Moído 22 h.<br>(Inicial) | Moído 22 h.<br>Deslaminado | Moído 22 h.<br>Deslaminado<br>Branqueado |
|-------------------|------------|-------------------------|---------------------------|--------------------------|----------------------------|--|
| GRANULOMETRIA (%) | > 44 $\mu$ | 0,2                     | -                         | -                        | -                          | -  |
|                   | > 20 $\mu$ | 33,5                    | 20                        | 7,5                      | 5                          | -  |
|                   | > 10 $\mu$ | 23,5                    | 19                        | 26,5                     | 19                         | -  |
|                   | > 5 $\mu$  | 16                      | 12,5                      | 26,5                     | 18                         | -  |
|                   | > 2 $\mu$  | 17                      | 17,5                      | 20,5                     | 21                         | -  |
|                   | < 2 $\mu$  | 10                      | 31                        | 19                       | 37                         | -  |
| BRANCURA          | Seco       | 68                      | 66,5                      | 68                       | 66,5                       | 82,5                                     |
|                   | Cocido     | 80,5                    | 78,5                      | 80,5                     | 78,5                       | 86                                       |
|                   | I.A.       | -                       | -                         | -                        | 26,7                       | 4,7                                      |
| % Sólidos         | -          | 64,5                    | 59                        | 63                       | -                          | -  |
| Viscosidade cP    | -          | 300                     | 300                       | 300                      | -                          | -  |

#### ENSAIOS TECNICOS (II)

Realízanse de novo tras da modificación das propiedades.

#### Cerámica (táboas V e VI)

O contido en sólidos das barbotinas aumenta até o 64,5 % no moído 2 h. e deslaminado, pra baixar logo ó 63 % no que foi moído 22 h. e deslaminado. Esta pode ser unha indicación de que a moenda afecta dalgún xeito ás propiedades reolóxicas. O fluxo das barbotinas apresenta un carácter newtoniano, (figs. 8-11) polo menos no intervalo de medida do viscosímetro, desaparecendo a dilatancia. O mesmo tempo aumenta o treito de viscosidade mínima, non se observando fenómenos de apousamento.

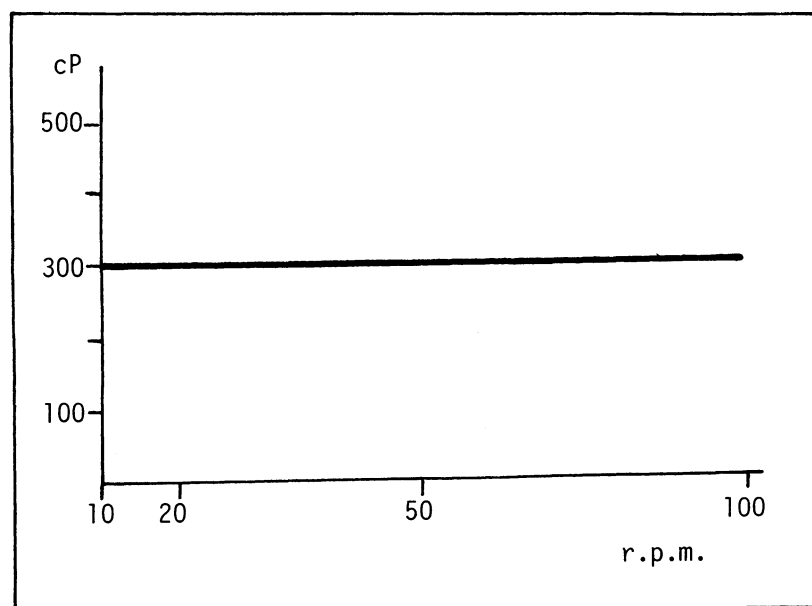
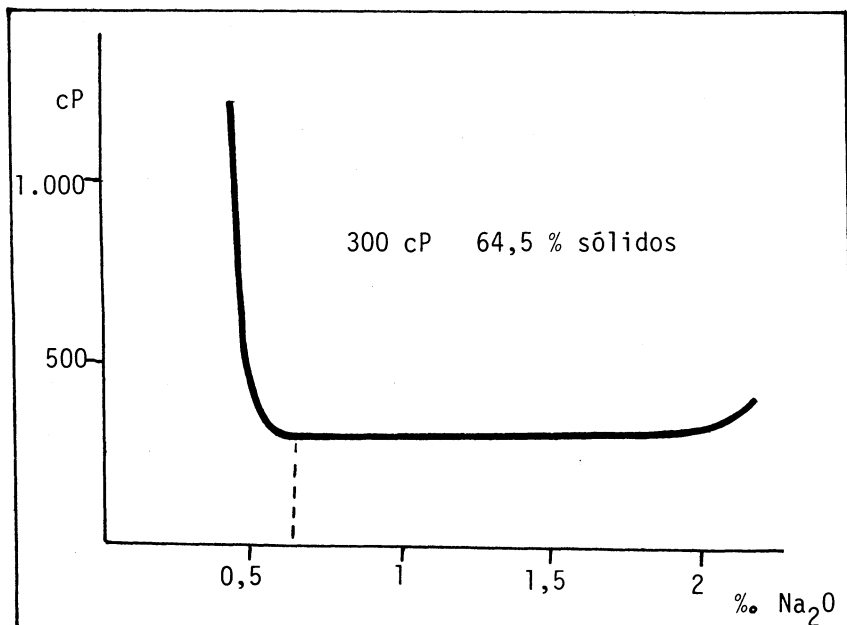
O módulo de ruptura increménțase dun xeito notable como consecuencia da diminución do tamaño de partícula. Polo mesmo motivo hai unha menor porosidade, deducida da menor absorción de auga. Non obstante baixa a brancura en cocido. A velocidade de formación de parede vai baixando gradualmente, quizais como efecto da maior cantidade de silicato sódico, xa que é

preciso aumenta-lo pra chegar ó punto de máxima defloculación, sendo este outro efecto provocado pola deslaminación.

Polo xeral apréciase que estes caolins deslaminados teñen un comportamento moi superior ó que foi ensaiado antes, baseándose nas características citadas, as cales fan que calquera deles poda empregarse na industria cerámica.

TABOA V.- Características cerámicas caolín moído 2 h. deslaminado.

|   | M E T O D O M O L D E O |           |          |
|---|-------------------------|-----------|----------|
|   | COLADO                  | EXTRUSION | PRENSADO |
| <u>CONTRACCION (%)</u>                              |                         |           |          |
| Verde - Seco .....                                  | 6                       | 6         | -        |
| Seco - Cocido .....                                 | 11                      | 11        | 11       |
| <u>MODULO DE RUPTURA (Kgr/cm<sup>2</sup>)</u> ..... | 26                      | 21        | -        |
| <u>ABSORCION DE AGUA (%) 1.410 °C</u> .....         | 6,5                     | 6         | 16       |
| <u>CAIDA PIROMETRICA (%) 1.410 °C</u> .....         | -                       | 22        | -        |
| <u>BRANCURA COCIDO - 1.410 °C</u> .....             | -                       | -         | 78,5     |
| <u>FORMACION ESPESOR</u>                            |                         |           |          |
| mm. en 5 min. .....                                 | 1,7                     |           |          |
| mm. en 15 min. .....                                | 3,4                     |           |          |
| Velocidade en mm <sup>2</sup> /min. .....           | 0,75                    |           |          |
| <u>VISCOSÍDADE MINIMA (64,5 % sólidos)</u>          |                         |           |          |
| Centipoises .....                                   | 300                     |           |          |
| <u>DEFLOCULANTE (silicato sódico)</u>               |                         |           |          |
| % Na <sub>2</sub> O .....                           | 0,65                    |           |          |



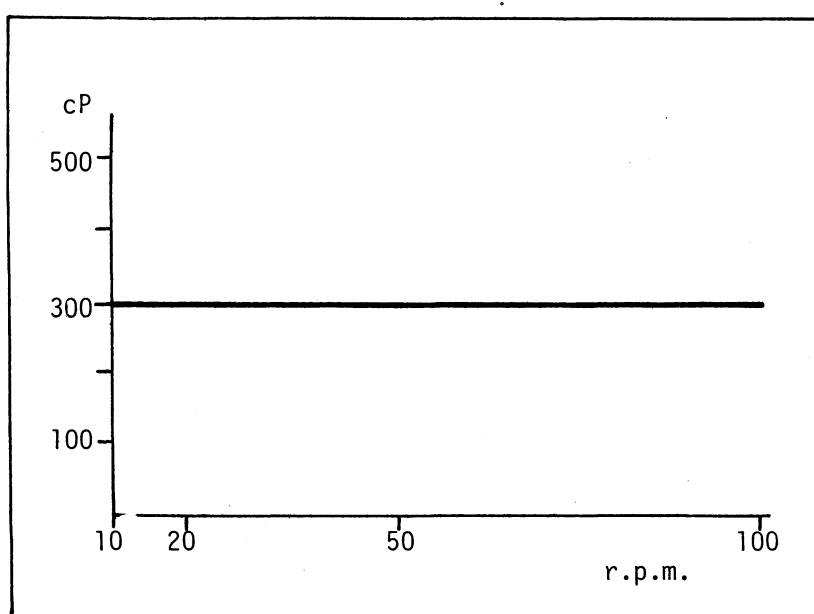
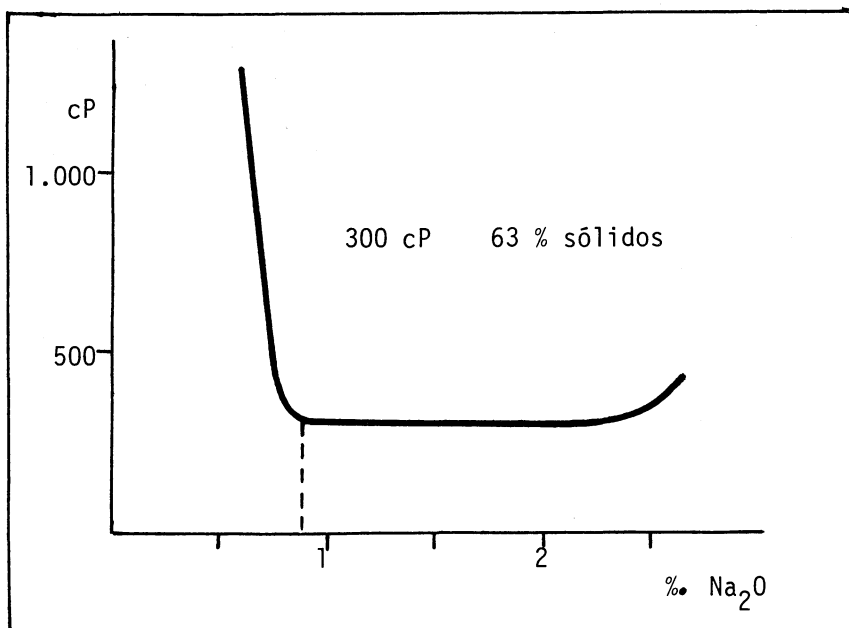


Fig. 11.- Fluxo newtoniano da barbotina

TABOA VI.- Características cerámicas caolín moído 22 h. deslaminado.

|   | M E T O D O M O L D E O |           |          |
|---|-------------------------|-----------|----------|
|   | COLADO                  | EXTRUSION | PRENSADO |
| <u>CONTRACCION (%)</u>                              |                         |           |          |
| Verde - Seco .....                                  | 5                       | 5         | -        |
| Seco - Cocido .....                                 | 14                      | 13        | 12       |
| <u>MODULO DE RUPTURA (Kgr/cm<sup>2</sup>)</u> ..... | 33                      | 31        | -        |
| <u>ABSORCION DE AGUA (%) 1.410 °C</u> .....         | 4                       | -         | 12,5     |
| <u>CAIDA PIROMETRICA (%) 1.410 °C</u> .....         | -                       | 22        | -        |
| <u>BRANCURA COCIDO - 1.410 °C</u> .....             | -                       | -         | 78,5     |
| <u>FORMACION ESPESOR</u>                            |                         |           |          |
| mm. en 5 min. .....                                 | 1                       |           |          |
| mm. en 15 min. .....                                | 2,3                     |           |          |
| Velocidade en mm <sup>2</sup> /min. .....           | 0,45                    |           |          |
| <u>VISCOSIDADE MINIMA (63 % sólidos)</u>            |                         |           |          |
| Centipoises .....                                   | 300                     |           |          |
| <u>DEFLOCULANTE (silicato sódico)</u>               |                         |           |          |
| % Na <sub>2</sub> O .....                           | 0,9                     |           |          |

Papel

Polo que respecta a súa aplicación ó papel, temos que decir que, a pesar do aumento notable da brancura en seco, o resto das propiedades farían que o caolín branqueado non acadase a calidade requerida pra emprega-lo no estucado. Non obstante, pode ser empregado como carga.

REMARTE

Resumindo o devandito pódese decir que se trata dun caolín cuio compoñente maioritario é haloisita, cun outo contido en alúmina e que ten coma impurezas óxidos de ferro e manganeso. Caracterízase por estar formado por

agregados, algúns deles difíciles de desfacer na auga.

Sin máis tratamento que unha moenda pra desfacer os agregados, pódese empregar na fabricación de refractarios. E necesario somete-lo a procesos de deslaminación pra chegar a obter un producto axeitado prá súa aplicación á fabricación de materiais de porcelana dura. As impurezas elíminanse mediante branqueo por vía química.

Estas posibilidades de uso industrial supoñen un estudio máis fondo da súa xeoloxía, e unha mellora das técnicas de deslaminación e branqueo, pra obter unha meirande calidade nos productos elaborados cunha maior economía do proceso. Ambalas labouras tense pensado facelas próximamente.

#### REFERENCIAS BIBLIOGRAFICAS

- 1.- I.G.M.E.: Mapa de rocas industriales 1:200.000, Hoja nº 8, Lugo.
- 2.- GUITIAN RIVERA, F.; CAMPILLO, G.; VARELA, A. (1983): El caolín materia prima industrial. Determinación de sus características físico-químicas y técnicas: 1<sup>er</sup> Congreso Iberoamericano de Cerámica, Vidrio y Refractarios, Torremolinos (Málaga) Junio 1982, Tomo II, Ed. Soc. Esp. de Cerámica y Vidrio, p. 669-678.

*Traballo presentado ó Seminario de Estudos Galegos.*